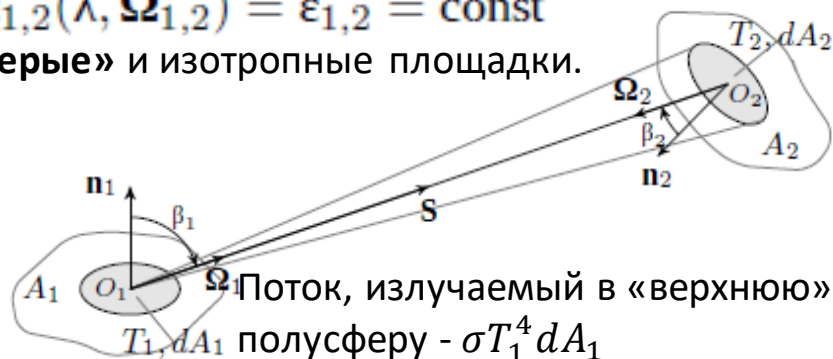


Инженерная технология расчёта теплообмена излучением в геометрически сложных системах: прикладная оптика, светотехника, теплопередача, дистанционное зондирование. Задача: **рассчитать теплообмен излучением между двумя элементарными площадками dA_1 и dA_2** , которые являются **простейшими** элементами поверхностей A_1 и A_2 реальных объектов. **Метод угловых коэффициентов между элементарными площадками.**

$$\epsilon_{1,2}(\lambda, \Omega_{1,2}) = \epsilon_{1,2} = \text{const}$$

«серые» и изотропные площадки.



Интегральный по спектру поток энергии, излучаемый в единицу времени dA_1 , который попадает на dA_2 :

$$dQ_{d1 \rightarrow d2} = \int_0^\infty dQ_{d1 \rightarrow d2}(\lambda) d\lambda = \int_0^\infty B(\lambda, T) d\lambda dA_1 \cos \beta_1 d\Omega_1 = \left[\int_0^\infty B(\lambda, T) d\lambda \right] dA_1 \cos \beta_1 d\Omega_1$$

$$= \frac{\sigma T_1^4}{\pi} dA_1 \cos \beta_1 d\Omega_1 = \frac{\sigma T_1^4}{\pi} \frac{dA_1 dA_2 \cos \beta_1 \cos \beta_2}{S^2}. \quad (1)$$

Элементарный угловой коэффициент (ЭУК) (angle factor) (dF_{d1-d2}) – доля энергии, излучаемой dA_1 в $(+2\pi)$, попадающей на dA_2 :

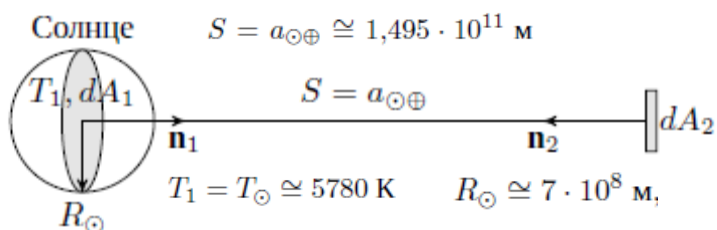
$$dF_{d1 \rightarrow d2} = \frac{dQ_{d1 \rightarrow d2}}{\sigma T_1^4 dA_1} = \frac{\sigma T_1^4 dA_1 dA_2 \cos \beta_1 \cos \beta_2}{\pi \sigma T_1^4 dA_1 S^2} = \frac{\cos \beta_1 \cos \beta_2}{\pi S^2} dA_2 \quad (2).$$

$dF_{di \rightarrow dj} dA_i = dF_{dj \rightarrow di} dA_j$ (3) – соотношение взаимности для УК между элементарными площадками

Знание dF_{d1-d2} (dF_{d2-d1}), позволяет рассчитать лучистый теплообмен между элементарными площадками:

$$dQ_{d1 \rightleftharpoons d2} = \sigma(T_1^4 - T_2^4) dF_{d1-d2} dA_1 = \sigma(T_1^4 - T_2^4) dF_{d2-d1} dA_2 \quad (4)$$

Пример 1. Рассчитать интегральную по спектру солнечную постоянную, используя метод УК (формулы (1) и (2)).



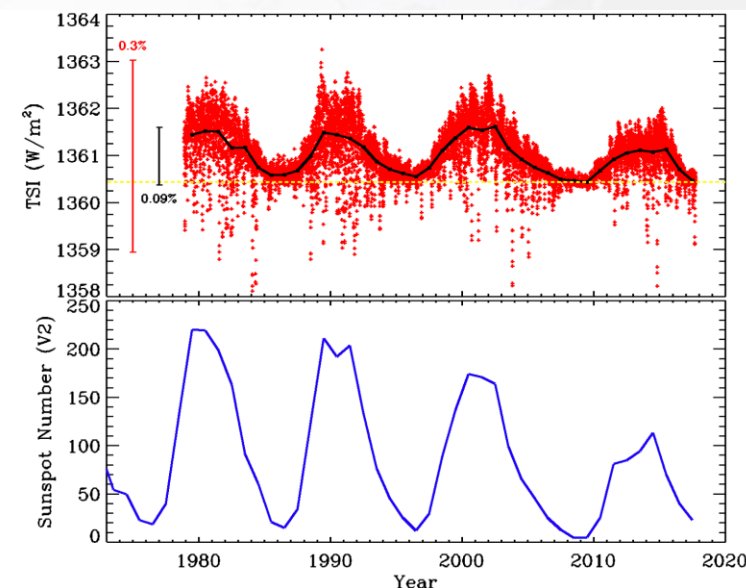
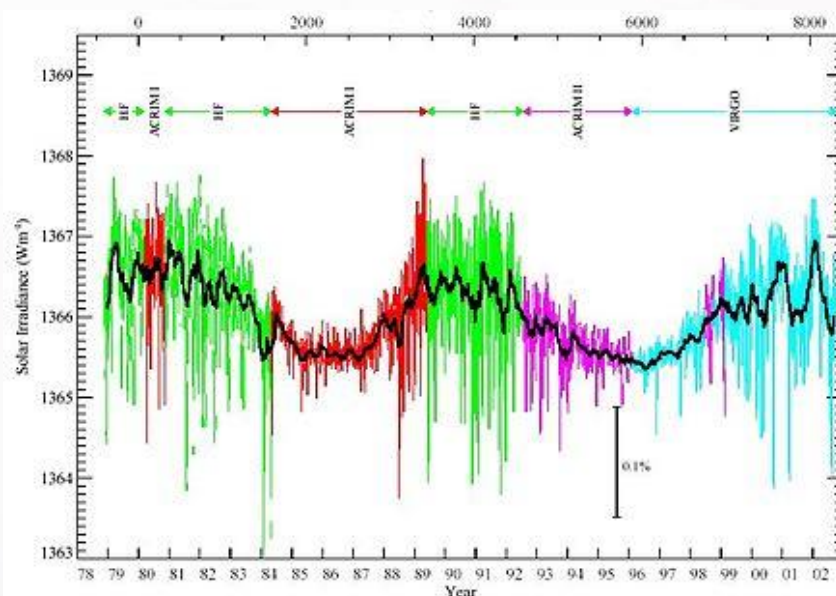
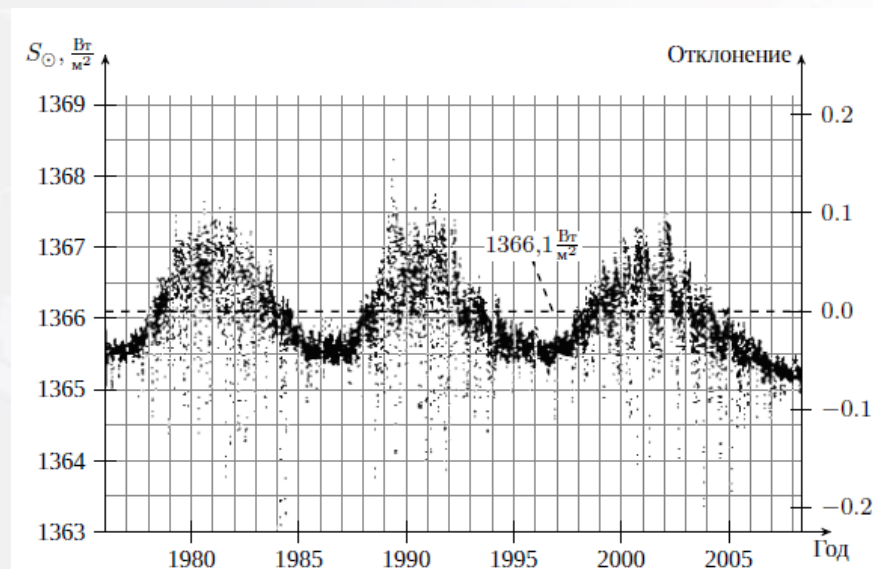
Модель. Солнце –элементарная площадка dA_1 ; dA_2 – элементарная площадка на поверхности Земли (без учета атмосферы или на ВГА). dA_1 - АЧТ

Солнечная постоянная:
$$S_{\odot} = \frac{dQ_{\odot \rightarrow dA_2}}{dA_2} = \frac{dQ_{dA_1 \rightarrow dA_2}}{dA_2} \quad (5)$$

$$S_{\odot} = \frac{dQ_{\odot \rightarrow dA_2}}{dA_2} = \frac{\sigma T_1^4}{dA_2 \pi} \frac{dA_1 dA_2}{S^2} \underbrace{(\cos \beta_1)}_1 \underbrace{(\cos \beta_2)}_1 = \frac{\sigma T_{\odot}^4}{\pi} \frac{dA_1}{S^2} \cong 1,366 \frac{\text{кВт}}{\text{м}^2} \quad (6)$$

Актуальные данные по спутниковым измерениям TSI (total solar irradiance), например:

<https://spot.colorado.edu/~koppg/TSI/> Данные нормализованы на расстояние равное 1 а. е.



1) Вычисление интегральной по спектру солнечной постоянной по дням года (Solar Radiation Outside the Earth's Atmosphere)

<https://www.pveducation.org/pvcdrom/properties-of-sunlight/solar-radiation-outside-the-earths-atmosphere>

2) Вычисление солнечной инсоляции

Основываясь на уравнении положения солнца на небосводе в течение года, рассчитывается максимальное количество солнечного излучения (**инсоляция**) в отсутствие облаков на поверхности Земли при определенном положении солнца как функцию широты (координаты наблюдателя) и дня в году.

<https://www.pveducation.org/pvcdrom/properties-of-sunlight/calculation-of-solar-insolation>

Анимации показывают дневную солнечную освещенность, солнечную инсоляцию и количество часов в течение дня, когда светит солнце. Данные не включают в себя местные погодные эффекты, поэтому это скорее теоретические графики, которые могут использоваться для предварительных оценок. Первый график показывает интенсивность прямого излучения в Вт / м² в течение дня в отсутствии облачности. Время - местное солнечное время.

УГЛОВЫЕ КОЭФФИЦИЕНТЫ ДЛЯ ПЛОЩАДОК КОНЕЧНЫХ РАЗМЕРОВ

Одна из площадок конечного размера, угловые коэффициенты (УК):

$$A_2 dF_{2-d1} = dA_1 dF_{d1-2} \quad (1')$$

$$dF_{d1-2} = \int_{A_2} \frac{\cos \beta_1 \cos \beta_2}{\pi S_{d1-d2}^2} dA_2 \quad dF_{2-d1} = \frac{dA_1}{A_2} \int_{A_2} \frac{\cos \beta_1 \cos \beta_2}{\pi S_{d2-d1}^2} dA_2 \quad (1)$$

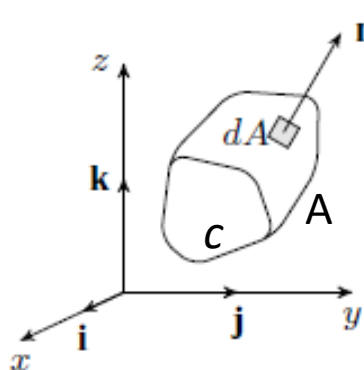
Обе площадки конечных размеров:

$$F_{1-2} = \frac{1}{A_1} \int_{A_1} \int_{A_2} \frac{\cos \beta_1 \cos \beta_2}{\pi S_{1-2}^2} dA_1 dA_2, \quad (2)$$

$$F_{2-1} = \frac{1}{A_2} \int_{A_2} \int_{A_1} \frac{\cos \beta_1 \cos \beta_2}{\pi S_{2-1}^2} dA_2 dA_1.$$

$$F_{1-2} A_1 = F_{2-1} A_2. \quad (3)$$

Расчёт УК между элементарной площадкой и площадкой конечных размеров (1), основанный на **теореме Стокса**.



$$\oint_C [P(x, y, z) dx + Q(x, y, z) dy + R(x, y, z) dz] =$$

$$= \int_A \left(\frac{\partial Q}{\partial x} - \frac{\partial P}{\partial y} \right) dx dy + \left(\frac{\partial R}{\partial y} - \frac{\partial Q}{\partial z} \right) dy dz + \left(\frac{\partial P}{\partial z} - \frac{\partial R}{\partial x} \right) dx dz. \quad (4)$$

$$\begin{cases} dx dy = dA \cdot \cos(\widehat{\mathbf{n}, \mathbf{k}}) = dA \cdot \cos \delta = n dA, \\ dy dz = dA \cdot \cos(\widehat{\mathbf{n}, \mathbf{i}}) = dA \cdot \cos \alpha = l dA, \\ dz dx = dA \cdot \cos(\widehat{\mathbf{n}, \mathbf{j}}) = dA \cdot \cos \gamma = m dA, \end{cases} \quad (5)$$

$$\oint_C (P dx + Q dy + R dz) =$$

$$= \int_A \left[\left(\frac{\partial Q}{\partial x} - \frac{\partial R}{\partial y} \right) n + \left(\frac{\partial R}{\partial y} - \frac{\partial Q}{\partial z} \right) l + \left(\frac{\partial P}{\partial z} - \frac{\partial R}{\partial x} \right) m \right] dA. \quad (6)$$

$$dF_{d1-2} = \int_{A_2} \frac{\cos \beta_1 \cos \beta_2}{\pi S_{d1-d2}^2} dA_2 \quad (1)$$

Лучистый тепловой поток между 2-мя элементарными «серыми» изотермическими площадками (от dA_1 к dA_2): ($S = S_{d1-d2} = S_{d2-d1}$)

$$dQ_{d1-d2} = \frac{\sigma T_1^4}{\pi} \frac{\cos\beta_1 \cos\beta_2}{S^2} dA_1 dA_2 \quad (1'). \text{ Пусть 2-я площадка конечных размеров } dF_{d1-2} = \frac{\int_{A_2} dQ_{d1-d2}}{dQ_1} \quad (2'),$$

$$\text{где } dQ_1 = \sigma T_1^4 dA_1 \text{ — поток от } dA_1 \text{ в полусферу с } A_2. dF_{d1-2} = \frac{\sigma T_1^4 \int_{A_2} (\cos\beta_1 \cos\beta_2 dA_1) / \pi S^2 dA_2}{\sigma T_1^4 dA_1} = \int_{A_2} \frac{\cos\beta_1 \cos\beta_2}{\pi S^2} dA_2 = \int_{A_2} dF_{d1-2} \quad (3').$$

Угловой коэффициент dF_{2-d1} —? Поток излучения, падающий на элементарную dA_1 от площадки A_2 :

$$dQ_{2-d1} = \int_{A_2} dQ_{d2-d1} = \int_{A_2} \frac{\sigma T_2^4}{\pi} \frac{\cos\beta_1 \cos\beta_2}{S^2} dA_1 dA_2 = \sigma T_2^4 dA_1 \int_{A_2} \frac{\cos\beta_1 \cos\beta_2}{\pi S^2} dA_2 \quad (4'). \text{ Поток от } A_2 \text{ в полусферу } dA_1: Q_2 = \int_{A_2} \sigma T_2^4 dA_2 =$$

$$= \sigma T_2^4 A_2 \quad (5') \quad dF_{2-d1} = \frac{dQ_{2-d1}}{Q_2} = \frac{dA_1}{A_2} \int_{A_2} \frac{\cos\beta_1 \cos\beta_2}{\pi S^2} dA_2 \quad (6'), \text{ откуда } A_2 dF_{2-d1} = dA_1 dF_{d1-2} \quad (7').$$

Теплообмен излучением

Поток, излучаемый dA_1 и попадающий на A_2 — $dQ_{d1-2} = \sigma T_1^4 dA_1 dF_{d1-2} \quad (8');$

поток, излучаемый A_2 и попадающий на dA_1 — $dQ_{2-d1} = \sigma T_2^4 A_2 dF_{2-d1} \quad (9').$

Поток результирующего излучения между площадками $A_2 \rightleftharpoons dA_1$: $dQ_{dA_1 \rightleftharpoons A_2} = dQ_{d1-2} - dQ_{2-d1} = \sigma T_1^4 dA_1 dF_{d1-2} - \sigma T_2^4 A_2 dF_{2-d1}.$

Угловые коэффициенты для 2-х площадок A_1 и A_2 конечных размеров:

$$F_{1-2} = \frac{Q_{1-2}}{Q_1} = \frac{\int_{A_1} \int_{A_2} dQ_{d1-d2}}{\sigma T_1^4 A_1} = \frac{1}{A_1} \int_{A_1} \int_{A_2} \frac{\cos\beta_1 \cos\beta_2}{\pi S^2} dA_1 dA_2 \quad (10')$$

$$F_{2-1} = \frac{Q_{2-1}}{Q_2} = \frac{\int_{A_1} \int_{A_2} dQ_{d2-d1}}{\sigma T_2^4 A_2} = \frac{1}{A_2} \int_{A_1} \int_{A_2} \frac{\cos\beta_1 \cos\beta_2}{\pi S^2} dA_1 dA_2 \quad (11')$$

$$A_1 F_{1-2} = A_2 F_{2-1} \quad (12')$$

Пример 2. Рассчитать теплообмен излучением между элементарной площадкой dA_1 и площадкой A_2 : dF_{d1-2} ?

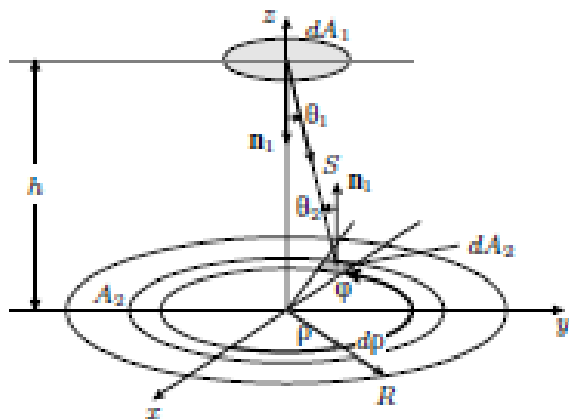


Рис. 1.

Задача моделирует взаимное положение входной апертуры приемника излучения и объекта в виде круга при соосном наблюдении в надир. Для того, чтобы воспользоваться полученными формулами для угловых коэффициентов между элементарными площадками, выделим на A_2 элементарную площадку dA_2 .

Полярная система координат. $dA_2 = \rho d\rho d\varphi$.

Координаты $dA_1(x_1 = 0, y_1 = 0, z_1 = h)$; $dA_2(x_2 = \rho \cos\varphi, y_2 = \rho \sin\varphi, z_2 = 0)$

$$S = \sqrt{\rho^2 (\cos\varphi)^2 + \rho^2 (\sin\varphi)^2 + h^2} = \sqrt{\rho^2 + h^2}; \cos\theta_1 = \cos\theta_2 = \frac{h}{S}.$$

$$dF_{d1-2} = \frac{\cos\theta_1 \cos\theta_2}{\pi S^2} dA_2 = \frac{h^2}{\pi(\rho^2 + h^2)^2} \rho d\rho d\varphi. \quad (7)$$

Пример 3. Рассчитать энергию, поступающую на вход апертуры приёмника излучения радиуса R , расположенного на расстоянии d от центра элементарной площадки dA_1 (АЧТ при температуре T_1).

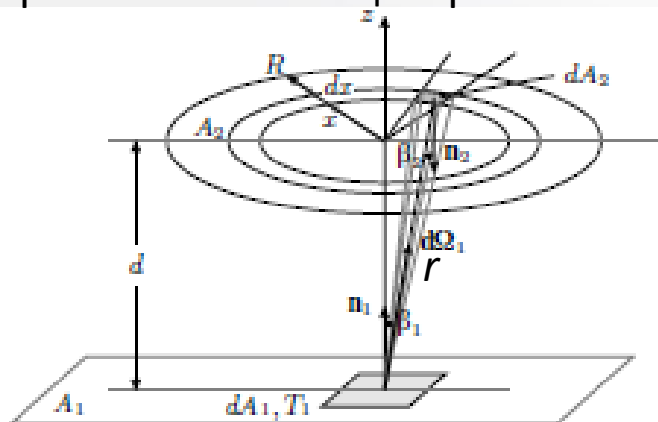


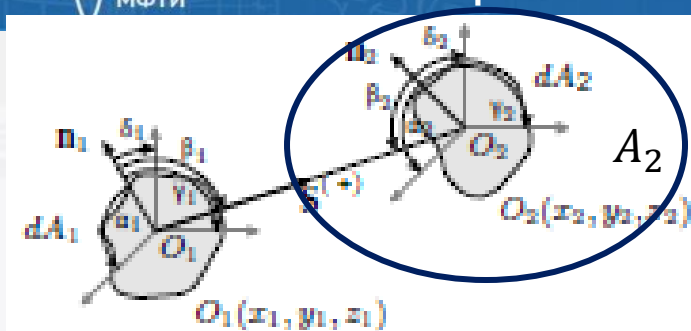
Рис. 2

$$dQ_{d1-2} = \frac{\sigma T_1^4}{\pi} dA_1 \cos\beta_1 d\Omega_1 = \frac{\sigma T_1^4}{\pi} dA_1 \frac{\cos\beta_1 \cos\beta_2}{r^2} dA_2 = L_1 \frac{\cos\beta_1 \cos\beta_2}{r^2} dA_2.$$

$$\beta_1 = \beta_2 = \theta = \frac{d}{r} = \frac{d}{\sqrt{d^2 + x^2}}. \text{ Полный поток:}$$

$$Q_{d1-2} = L_1 \int_0^R \int_0^{2\pi} \frac{(\cos\theta)^2 dA_2}{r^2} \approx \pi L_1 \left(\frac{R}{d}\right)^2 \left[1 - \left(\frac{R}{d}\right)^2 + \dots\right] \quad (8). \text{ При } d \gg R \text{ (8) - поток}$$

$$\text{излучения от «точечного» источника: } (Q_{d1-2})_{\text{ти}} = \sigma T_1^4 dA_1 \left(\frac{R}{d}\right)^2 \quad (9)$$



Задача: Для определения УК между элементарной площадкой dA_1 и площадкой

конечных размеров A_2 ($dA_2 \in A_2$) по формуле (1)

для вычисления интеграла по площади A_2

применить теорему Стокса (6):

$$dF_{d1-d2} = \int_{A_2} \frac{\cos \beta_1 \cos \beta_2}{\pi S_{d1-d2}^2} dA_2 \quad (1)$$

$$\oint_{C_2} [P(x, y, z)dx + Q(x, y, z)dy + R(x, y, z)dz] = \int_{A_2} \left[\left(\frac{\partial Q(x, y, z)}{\partial x} - \frac{\partial P(x, y, z)}{\partial y} \right) n + \left(\frac{\partial R(x, y, z)}{\partial y} - \frac{\partial Q(x, y, z)}{\partial z} \right) l + \left(\frac{\partial P(x, y, z)}{\partial z} - \frac{\partial R(x, y, z)}{\partial x} \right) m \right] dA \quad (6).$$

$$\vec{S}^{(+)}(x_2 - x_1, y_2 - y_1, z_2 - z_1); \vec{S}^{(-)}(x_1 - x_2, y_1 - y_2, z_1 - z_2); \vec{n}_1(\cos \alpha_1, \cos \gamma_1, \cos \delta_1); \vec{n}_2(\cos \alpha_2, \cos \gamma_2, \cos \delta_2)$$

$$S = S_{d1-d2} = |\vec{S}^{(+)}| = |\vec{S}^{(-)}| = \sqrt{(x_1 - x_2)^2 + (y_1 - y_2)^2 + (z_1 - z_2)^2}; \cos \beta_1 = \frac{\vec{S}^{(+)} \cdot \vec{n}_1}{|\vec{S}^{(+)}| |\vec{n}_1|} = \frac{\vec{S}^{(+)} \cdot \vec{n}_1}{|\vec{S}^{(+)}|}; \cos \beta_2 = \frac{\vec{S}^{(-)} \cdot \vec{n}_2}{|\vec{S}^{(-)}| |\vec{n}_2|} = \frac{\vec{S}^{(-)} \cdot \vec{n}_2}{|\vec{S}^{(-)}|}.$$

$$|\vec{S}^{(+)}| \cos \beta_1 = \vec{S}^{(+)} \cdot \vec{n}_1 = (x_2 - x_1) \cos \alpha_1 + (y_2 - y_1) \cos \gamma_1 + (z_2 - z_1) \cos \delta_1 = (x_2 - x_1) l_1 + (y_2 - y_1) m_1 + (z_2 - z_1) n_1$$

$$|\vec{S}^{(-)}| \cos \beta_2 = (x_1 - x_2) l_2 + (y_1 - y_2) m_2 + (z_1 - z_2) n_2.$$

$$dF_{d1-2} = \frac{1}{\pi} \int_{A_2} \frac{1}{S^2} \left[\frac{(x_2 - x_1) l_1 + (y_2 - y_1) m_1 + (z_2 - z_1) n_1}{|\vec{S}^{(+)}|} \right] \left[\frac{(x_1 - x_2) l_2 + (y_1 - y_2) m_2 + (z_1 - z_2) n_2}{|\vec{S}^{(-)}|} \right] dA_2 =$$

$$= \int_{A_2} [f(x_1 - x_2) l_2 + f(y_1 - y_2) m_2 + f(z_1 - z_2) n_2] dA_2 \quad (7), \text{ где: } f = \frac{(x_2 - x_1) l_1 + (y_2 - y_1) m_1 + (z_2 - z_1) n_1}{\pi S^4} \quad (8)$$

$$\left\{ \begin{array}{l} \frac{\partial Q}{\partial x_2} - \frac{\partial P}{\partial y_2} = f(z_1 - z_2) \\ \frac{\partial R}{\partial y_2} - \frac{\partial Q}{\partial z_2} = f(x_1 - x_2) \\ \frac{\partial P}{\partial z_2} - \frac{\partial R}{\partial x_2} = f(y_1 - y_2) \end{array} \right\} \quad (9)$$

$$\text{В (9) } f = \frac{(x_2 - x_1)l_1 + (y_2 - y_1)m_1 + (z_2 - z_1)n_1}{\pi S^4}; \quad (10)$$

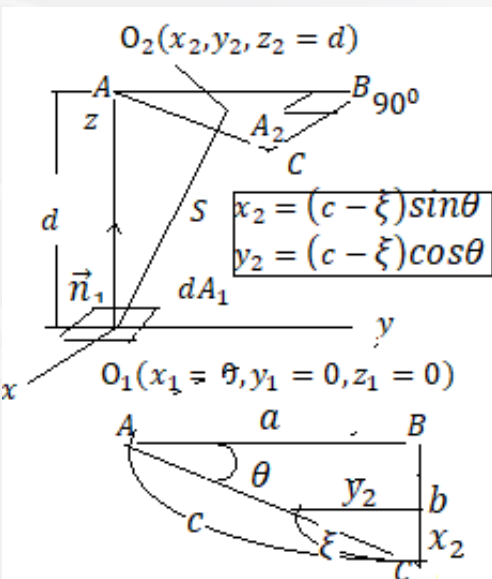
$$S = \sqrt{(x_1 - x_2)^2 + (y_1 - y_2)^2 + (z_1 - z_2)^2}$$

$$\begin{aligned} P &= \frac{-m_1(z_2 - z_1) + n_1(y_2 - y_1)}{2\pi S^2} \\ Q &= \frac{l_1(z_2 - z_1) + n_1(x_2 - x_1)}{2\pi S^2} \\ R &= \frac{-l_1(y_2 - y_1) + m_1(x_2 - x_1)}{2\pi S^2} \end{aligned} \quad (11)$$

$$dF_{d1-2} = \oint_{C_2} [P(x, y, z)dx + Q(x, y, z)dy + R(x, y, z)dz] \quad (12).$$

$$dF_{d1-2} = \frac{l_1}{2\pi} \oint_{C_2} \frac{(z_2 - z_1)dy_2 - (y_2 - y_1)dz_2}{S^2} + \frac{m_1}{2\pi} \oint_{C_2} \frac{(x_2 - x_1)dz_2 - (z_2 - z_1)dx_2}{S^2} + \frac{n_1}{2\pi} \oint_{C_2} \frac{(y_2 - y_1)dx_2 - (x_2 - x_1)dy_2}{S^2} \quad (13)$$

Пример. Заданы элементарная площадка dA_1 и площадка конечных размеров A_2 в виде прямоугольного треугольника ABC.



Вычислить УК dF_{d1-2} . **Последовательность действий:**

1) Определение направляющих косинусов:

$$l_1 = \cos \alpha_1 = \cos(\vec{n}_1, \vec{i}) = 0; m_1 = \cos \gamma_1 = \cos(\vec{n}_1, \vec{j}) = 0; n_1 = \cos \delta_1 = \cos(\vec{n}_1, \vec{k}) = 1.$$

2) Определение функций P, Q и R по формулам (11): $P = \frac{(y_2 - y_1)}{2\pi S^2}; Q = \frac{-(x_2 - x_1)}{2\pi S^2}; R = 0$ ($S = x_2^2 + y_2^2 + d^2$).

$$\begin{aligned} 3) dF_{d1-2} &= \oint_{C_2} [Pdx_2 + Qdy_2] = \frac{1}{2\pi} \oint_{C_2} \frac{(y_2 - y_1)dx_2 - (x_2 - x_1)dy_2}{S^2} = \frac{1}{2\pi} \oint_{C_2} \frac{(y_2)dx_2 - (x_2)dy_2}{S^2} = \\ &= \frac{1}{2\pi} \left[\int_A^B \left(\frac{(y_2)dx_2 - (x_2)dy_2}{S^2} \right) + \int_B^C () + \int_C^A () \right] = \frac{1}{2\pi} \left[0 + \int_0^b \left(\frac{(y_2=a)dx_2}{x_2^2 + a^2 + d^2} \right) + \right. \end{aligned}$$

$$F_{1-2} = \frac{1}{A_1} \int_{A_1} \int_{A_2} \frac{\cos \beta_1 \cos \beta_2}{\pi S_{1-2}^2} dA_1 dA_2, \quad (2) \quad F_{1-2} A_1 = F_{2-1} A_2.$$

$$F_{2-1} = \frac{1}{A_2} \int_{A_2} \int_{A_1} \frac{\cos \beta_1 \cos \beta_2}{\pi S_{2-1}^2} dA_2 dA_1.$$

$$dF_{d1-2} = \frac{l_1}{2\pi} \oint_{C_2} \frac{(z_2 - z_1) dy_2 - (y_2 - y_1) dz_2}{S^2} + \quad (13)$$

$$+ \frac{m_1}{2\pi} \oint_{C_2} \frac{(x_2 - x_1) dz_2 - (z_2 - z_1) dx_2}{S^2} + \frac{n_1}{2\pi} \oint_{C_2} \frac{(y_2 - y_1) dx_2 - (x_2 - x_1) dy_2}{S^2} = F_{d1-2}$$

$$A_1 F_{1-2} = A_2 F_{2-1} = \int_{A_1} F_{d1-2} dA_1 = \frac{1}{2\pi} \oint_{C_2} \left[\int_{A_1} \frac{(z_2 - z_1) l_1 dy_2 - (y_2 - y_1) l_1 dz_2}{S^2} + \frac{(x_2 - x_1) m_1 dz_2 - (z_2 - z_1) m_1 dx_2}{S^2} + \frac{(y_2 - y_1) n_1 dx_2 - (x_2 - x_1) n_1 dy_2}{S^2} \right] dA_1. \quad (14)$$

$$A_1 F_{1-2} = A_2 F_{2-1} = \frac{1}{2\pi} \oint_{C_2} \left[\int_{A_1} \frac{(y_2 - y_1) n_1 - (z_2 - z_1) m_1}{S^2} dA_1 \right] dx_2 + \frac{1}{2\pi} \oint_{C_2} \left[\int_{A_1} \frac{(z_2 - z_1) l_1 - (x_2 - x_1) n_1}{S^2} dA_1 \right] dy_2 + \frac{1}{2\pi} \oint_{C_2} \left[\int_{A_1} \frac{(x_2 - x_1) m_1 - (y_2 - y_1) l_1}{S^2} dA_1 \right] dz_2. \quad (15)$$

К каждому из трёх внутренних интегралов по поверхности A_1 применим теорему Стокса.

Рассмотрим процедуру на примере первого интеграла в (15): $\int_{A_1} \frac{(y_2 - y_1) n_1 - (z_2 - z_1) m_1}{S^2} dA_1. \quad (16)$

Формула Стокса:

$$\int_{A_1} \left[\left(\frac{\partial Q}{\partial x_1} - \frac{\partial R}{\partial y_1} \right) n_1 + \left(\frac{\partial R}{\partial y_1} - \frac{\partial Q}{\partial z_1} \right) l_1 + \left(\frac{\partial P}{\partial z_1} - \frac{\partial R}{\partial x_1} \right) m_1 \right] dA_1 = \oint_{C_1} (P dx + Q dy + R dz) \quad (17)$$

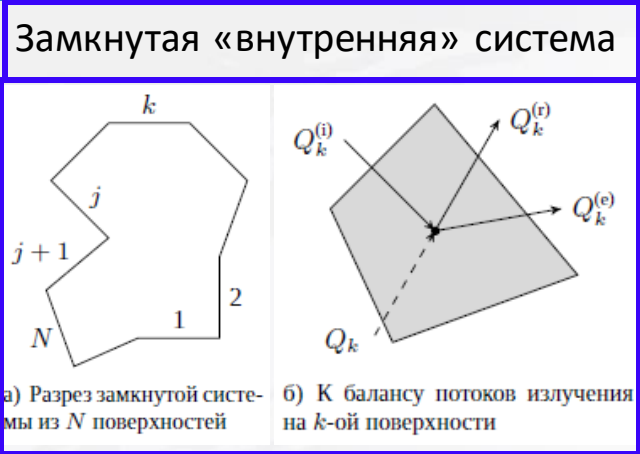
$$\begin{cases} \frac{\partial R}{\partial y_1} - \frac{\partial Q}{\partial z_1} = 0, \\ \frac{\partial P}{\partial z_1} - \frac{\partial R}{\partial x_1} = -\frac{z_2 - z_1}{S^2}, \\ \frac{\partial Q}{\partial x_1} - \frac{\partial R}{\partial y_1} = \frac{y_2 - y_1}{S^2}. \end{cases} \quad (18)$$

Решение (18) (без вывода) $P = \ln S, \quad Q = 0, \quad R = 0.$ т.е. $\int_{A_1} \frac{(y_2 - y_1) n_1 - (z_2 - z_1) m_1}{S^2} dA_1 = \oint_{C_1} \ln S dx_1. \quad (19)$

Применяя (17) к 2-му и 3-му интегралам в правой части (15), получим искомый результат (20).

$$A_1 F_{1-2} = \frac{1}{2\pi} \oint_{C_2} \left[\oint_{C_1} \ln S dx_1 \right] dx_2 + \frac{1}{2\pi} \oint_{C_2} \left[\oint_{C_1} \ln S dy_1 \right] dy_2 + \frac{1}{2\pi} \oint_{C_2} \left[\oint_{C_1} \ln S dz_1 \right] dz_2. \quad (20)$$

$$F_{1-2} = \frac{1}{2\pi A_1} \oint_{C_1} \oint_{C_2} (\ln S dx_2 dx_1 + \ln S dy_2 dy_1 + \ln S dz_2 dz_1) \quad (21)$$



Площадь k-ой поверхности A_k , температура T_k , степень черноты ε_k . На рис. б) стрелками показаны «внутренние» **интегральные по спектру** потоки излучения $Q_k^{(i)}, Q_k^{(r)}, Q_k^{(e)}$, связанные с A_k , которые либо попадают, либо «уходят» от k-ой поверхности внутрь системы, а также «внешний» поток Q_k , подводимый к внешней части A_k для поддержания стационарного теплового режима системы.

$Q_k^{(i)}$ -поток излучения, падающий на A_k от всех остальных поверхностей системы (i — incident);

$Q_k^{(e)}$ -поток, излучаемый A_k внутрь системы (e — emission);

$Q_k^{(r)}$ -поток, отражённый A_k внутрь системы (r — reflection).

Поверхности диффузные: $\varepsilon_k + \rho_k = 1$, где ρ_k - коэффициент диффузного отражения. В этом случае:

$Q_k^{(e)} = q_k^{(e)} A_k = \varepsilon_k \sigma T_k^4 A_k$; $Q_k^{(r)} = (1 - \varepsilon_k) q_k^{(i)} A_k$; $Q_k^{(i)} = q_k^{(i)} A_k$ (1), где $q_k^{(i)(e)}$ - плотность соответствующего потока.

Пусть $q_k^{(o)} = q_k^{(e)} + q_k^{(r)} = \varepsilon_k \sigma T_k^4 + (1 - \varepsilon_k) q_k^{(i)}$ (2) - плотность полного «уходящего» (o-out) от A_k потока.

Интегральный тепловой баланс k-ой площадки: $Q_k = q_k A_k = (q_k^{(o)} - q_k^{(i)}) A_k$ (3). Преобразуем (3) с использованием 2-х независимых подходов исключения из (3) $q_k^{(i)}$:

1) Из (2) $q_k^{(i)} = \frac{q_k^{(o)} - \varepsilon_k \sigma T_k^4}{1 - \varepsilon_k}$ (4) подставим в (3): $q_k A_k = \frac{A_k \varepsilon_k}{1 - \varepsilon_k} (\sigma T_k^4 - q_k^{(o)})$ (5)

2). Выразим $q_k^{(i)}$ через угловые коэффициенты и «уходящие» от остальных площадок потоки:

$q_k^{(i)} A_k = q_1^{(o)} \cdot A_1 F_{1-k} + q_2^{(o)} \cdot A_2 F_{2-k} + \dots + q_N^{(o)} \cdot A_N F_{N-k}$ (6), которая с учетом $F_{j-k} A_j = F_{k-j} A_k$ примет вид:

$q_k^{(i)} A_k = q_1^{(o)} \cdot A_k F_{k-1} + q_2^{(o)} \cdot A_k F_{k-2} + \dots + q_N^{(o)} \cdot A_k F_{k-N} = A_k \sum_{j=1}^N q_j^{(o)} F_{k-j}$ (7)

$q_k A_k = \left(q_k^{(o)} - \sum_{j=1}^N q_j^{(o)} \cdot F_{k-j} \right) A_k$ (8)

Подставляя (7) в (3), получим независимое от (5) уравнение теплового баланса (8):

$$q_k A_k = \frac{A_k \varepsilon_k}{1 - \varepsilon_k} (\sigma T_k^4 - q_k^{(o)})$$

$$q_k A_k = \left(q_k^{(o)} - \sum_{j=1}^N q_j^{(o)} \cdot F_{k-j} \right) A_k \quad (9)$$

$$k = 1, 2, \dots, N$$

1) При условии, что исходные данные: характеристики каждой площадки (A_k, ε_k, T_k) геометрическая конфигурация замкнутой системы (F_{k-j}), неизвестные - «уходящие» от k-ой площадки потоки $q_k^{(o)}$ и «компенсационных» потоки q_k , обеспечивающие тепловой баланс на A_k . (9) – система линейных алгебраических уравнений).

В этом случае потоки $q_k^{(i)}$ определяются по формуле: $q_k^{(i)} = \frac{q_k^{(o)} - \varepsilon \sigma T_k^4}{1 - \varepsilon_k}$.

2) При условии, что исходные данные: (A_k, ε_k и q_k) и геометрия системы (F_{k-j}), неизвестные - потоки $q_k^{(o)}$ и температура площадки T_k . ((9) – система нелинейных алгебраических уравнений).

Свойство УК для замкнутой системы:

$$F_{k-1} + F_{k-2} + \dots + F_{k-k} + F_{k-j} + \dots + F_{k-N} = \sum_{j=1}^N F_{k-j} = 1 \quad (10) \quad (F_{k-k}=0)$$

Пример 1. Рассчитать теплообмен излучением между параллельными бесконечными «серыми» поверхностями.

$$\begin{cases} q_1 = \frac{\varepsilon_1}{1 - \varepsilon_1} (\sigma T_1^4 - q_1^{(o)}), \\ q_1 = q_1^{(o)} - q_1^{(o)} F_{1-1} - q_2^{(o)} F_{1-2}, \\ q_2 = \frac{\varepsilon_2}{1 - \varepsilon_2} (\sigma T_2^4 - q_2^{(o)}), \\ q_2 = q_2^{(o)} - q_1^{(o)} F_{2-1} - q_2^{(o)} F_{2-2}. \end{cases} \quad (11)$$

Определение F_{k-j} ($k, j = 1, 2, 3, 4$). $F_{1-1} = F_{2-2} = 0$;

$$F_{1-2} = F_{2-1} = 1.$$

Решение (11) $q_1 = -q_2 = \frac{\sigma(T_1^4 - T_2^4)}{\frac{1}{\varepsilon_1} + \frac{1}{\varepsilon_2} - 1} = \varepsilon_{\text{эфф.}} \sigma (T_1^4 - T_2^4) \quad (12)$

$$q_1^{(o)} = \sigma T_1^4 - \frac{1 - \varepsilon_1}{\varepsilon_1} q_1; \quad q_2^{(o)} = \sigma T_2^4 - \frac{1 - \varepsilon_2}{\varepsilon_2} q_1 \quad (13)$$

Пример 2. Рассчитать теплообмен излучением между концентрическими «серыми» сферами ($R_1, R_2, T_1, T_2, \varepsilon_1, \varepsilon_2$).

$$\begin{cases} q_1 = \frac{\varepsilon_1}{1 - \varepsilon_1} (\sigma T_1^4 - q_1^{(o)}), \\ q_1 = q_1^{(o)} - q_1^{(o)} F_{1-1} - q_2^{(o)} F_{1-2}, \\ q_2 = \frac{\varepsilon_2}{1 - \varepsilon_2} (\sigma T_2^4 - q_2^{(o)}), \\ q_2 = q_2^{(o)} - q_1^{(o)} F_{2-1} - q_2^{(o)} F_{2-2}. \end{cases} \quad (14)$$

Из-за симметрии вся энергия, излучаемая A_1 попадает на A_2 , т.е. $F_{1-2} = 1$. При этом $F_{1-1} = 0$, но $F_{2-2} \neq 0$. Из $F_{1-2} A_1 = F_{2-1} A_2$ имеем: $F_{2-1} = \frac{A_1}{A_2}$. $F_{2-2} = ?$

$$F_{2-2} = 1 - F_{2-1} = 1 - \frac{A_1}{A_2}.$$

Решение (14), например, для q_1

$$q_1 = \frac{\sigma(T_1^4 - T_2^4)}{\frac{1}{\varepsilon_1} + \frac{A_1}{A_2} \left(\frac{1}{\varepsilon_2} - 1 \right)} = \varepsilon_{\text{эфф.}} \sigma (T_1^4 - T_2^4). \quad (15)$$

$\varepsilon_{\text{эфф.}}$ – эффективная степень черноты замкнутой системы.